

(523) 極厚C-Mn-V鋼のCODおよび疲労き裂伝播特性
(寒冷地用極厚鋼材に関する研究—第2報)

日本製鋼所 室蘭製作所 研究部

○福田 隆・内山 英二・大津 英彦・島崎 正英

1. 緒言

寒冷地における資源開発の規模拡大とともに使用される鋼材の肉厚増大傾向は著しいものになっている。特にここ数年内厚 150mm を超える部材の使用が2.3検討されているがこの様な超厚部材の破壊強度データ、実用性データ不足などのためにまだ実際に使用されるに至っていない。筆者らはこのような超厚部材の実用性データの収集解釈を行なっている。第1報では 195mm^t の C-Mn-V 鋼板およびその溶接継手を試作し、COD値も含めてその機械的性質が北海等で要求される性能を十分満足したCOD値に及ぼす試験片肉厚の効果を定量的に確認した。本報告では第1報と同一の鋼板を用いて実用性の観点から 2mmV シヤルピー試験値と δ_c, J_c, δ_i 値との相関を確認するとともに、海洋構造物において波浪によるき裂の進展を想定して、くり返し応力による疲労き裂伝播速度を求めた結果について述べる。

2. 試験方法

供試材は表1に示す化学成分の Low-C-Mn-V鋼板で QT-SR 处理後母材ならびにその溶接部の各種試験を行なった。COD試験片はすべて試験片肉厚中心と供試鋼板の端部が一致するように採取し、BS 5762に従がつて試験を行なった。き裂伝播特性は ASTM E399 による 1T-CT 試験片を母材および HAZ粗粒域(SAW)より採取し、600および 8cycle/min (後者は波浪の周期にほぼ相当) の片振り試験で da/dN v.s ΔK を測定した。

3. 試験結果

(1)遷移領域における δ_c は試験片肉厚が小さいほど

と大きなばらつきを示す。この現象は Weibull (1)鋼板中央部 δ_c , (2) $Ceg(\%) = C + Mn/6 + (Cr + Mo + V)$

タイプの寸法効果と理解される。その下限値は δ_i (COD for stable crack initiation)

に等しく、試験片肉厚 75mm^t までは δ_i に対する肉厚効果は認められなかつた。(図1)

(2) δ_c と J_c は良い相関があり、 $\delta_c = J_c / 2\sigma_y$ の関係が得られた。

(3) シヤルピー遷移曲線から δ_c を推定する従来の方法(最大肉厚 100mm^t まで)は推定精度が非常に悪い。 δ_i については(2)項で得られた関係式より K_{Ic} を求め、Røffe-Novak の関係式および降伏強度の補正を行なうことにより、シヤルピー遷移曲線から δ_i の精度の良い推定が可能である。

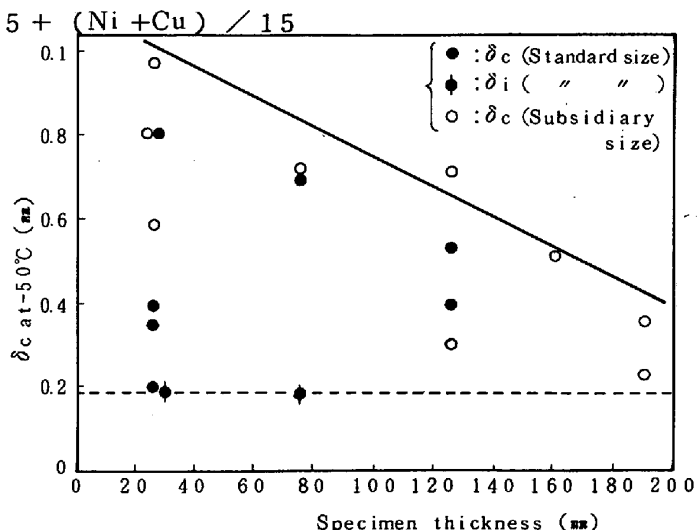
(4) 600cycle/min(大気中)の疲労き裂伝播速度は母材、HAZ粗粒域(SAW)ともほぼ同等であつた。

これは本鋼種では HAZ の硬度が十分低く押さえられているのが主因と考えられる。海水中では大気中に比し、Parisの式において C の値が若干大きくなる。

(5)溶接後の SR の要否および疲労き裂伝播特性に及ぼす荷重くり返し速度の影響を詳細に検討した。

表1. 供試材のcheck分析結果 (wt.%)⁽¹⁾

C	Si	Mn	P	S	Ni	Cr	Cu	Mo	V	AJ	Ceg ⁽²⁾
0.16	0.30	1.25	0.007	0.007	0.40	0.11	0.17	0.11	0.04	0.025	0.46

図1. 試験片肉厚と δ_c の関係